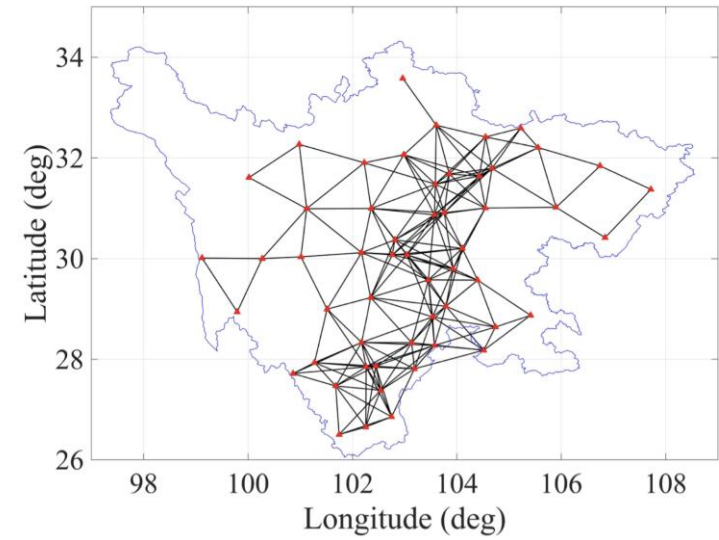
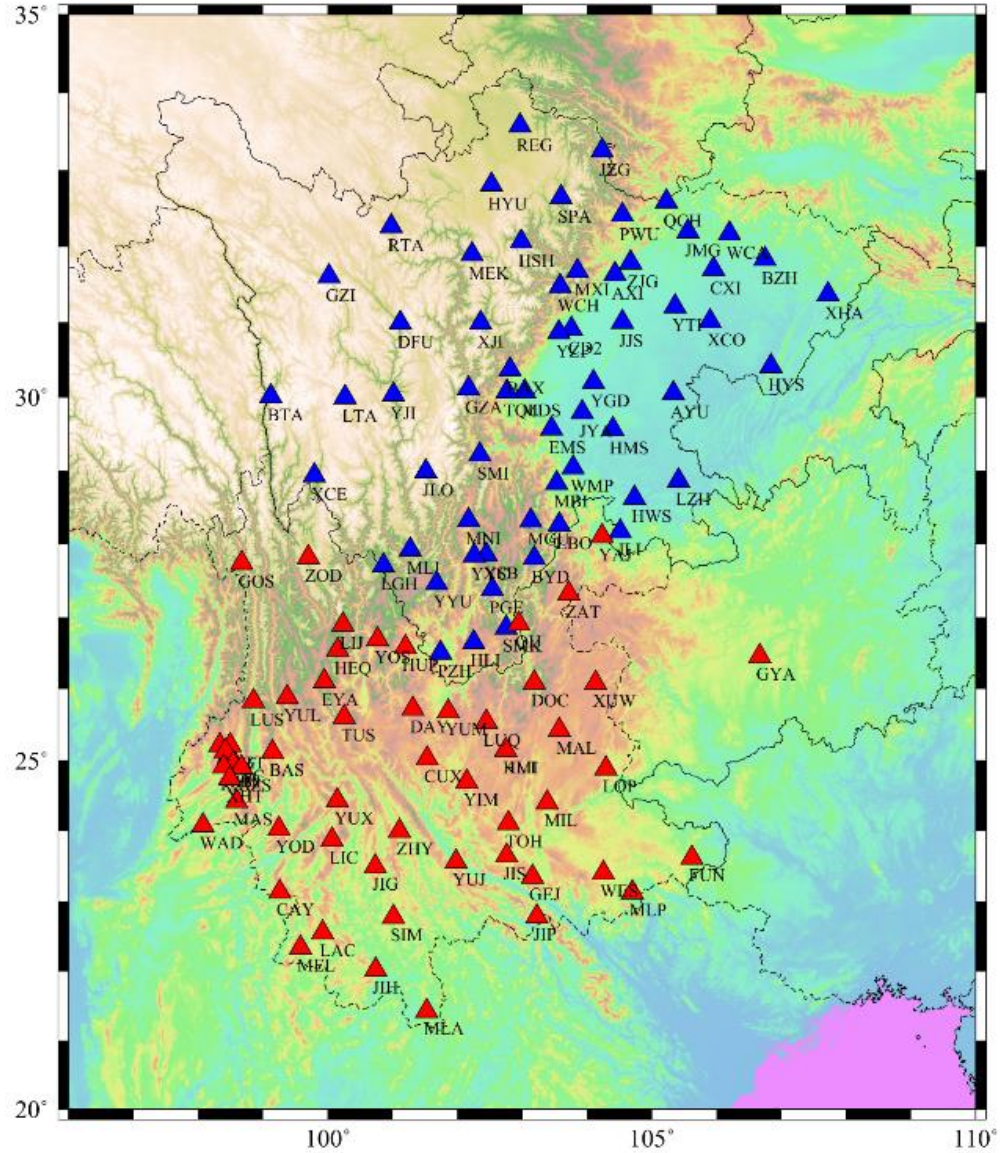
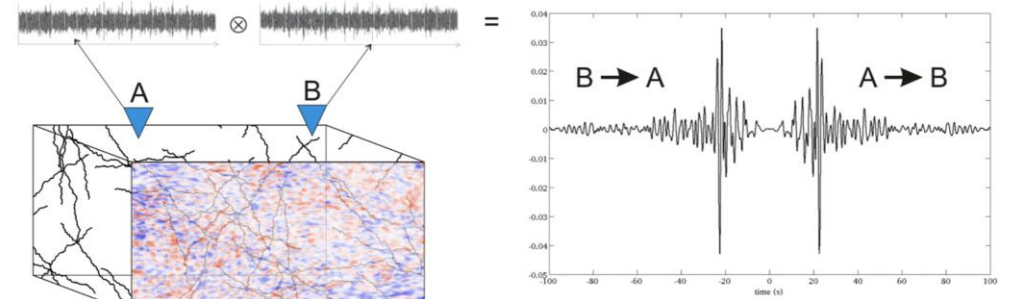


项目一：基于人工智能的格林函数插值

(汤志航)

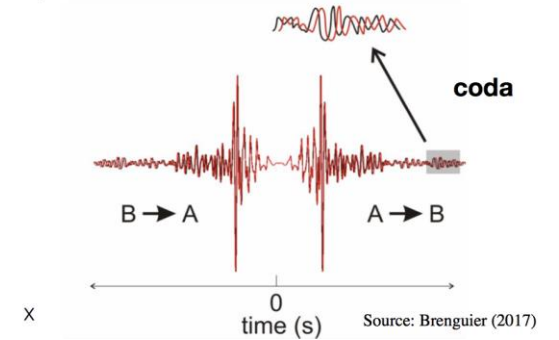
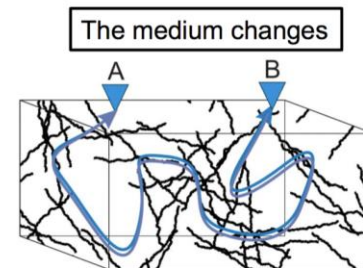


signal processing ==> $A \otimes B$ ==> stack ==>



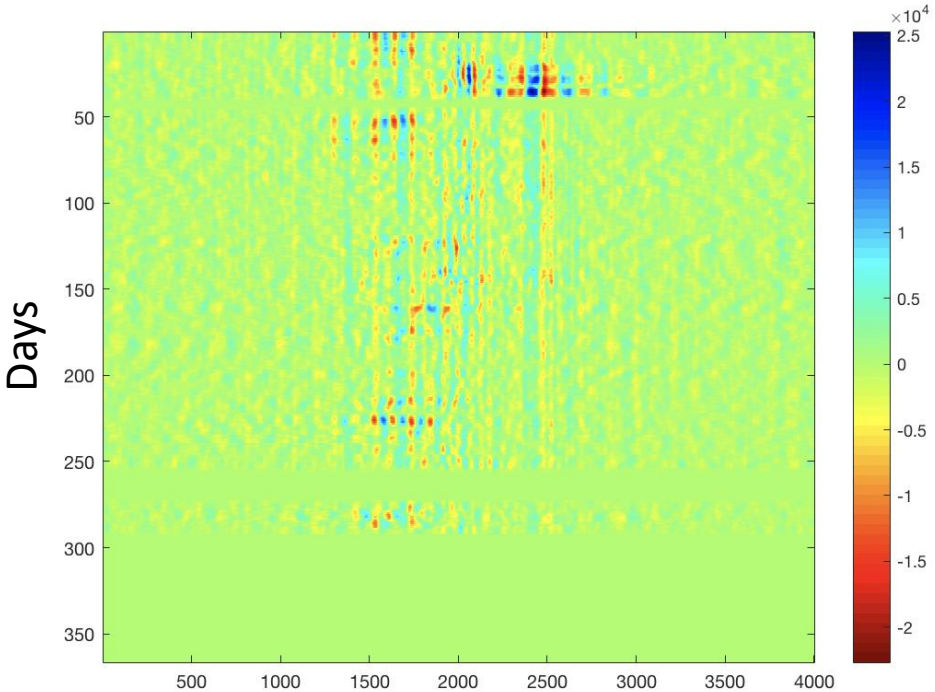
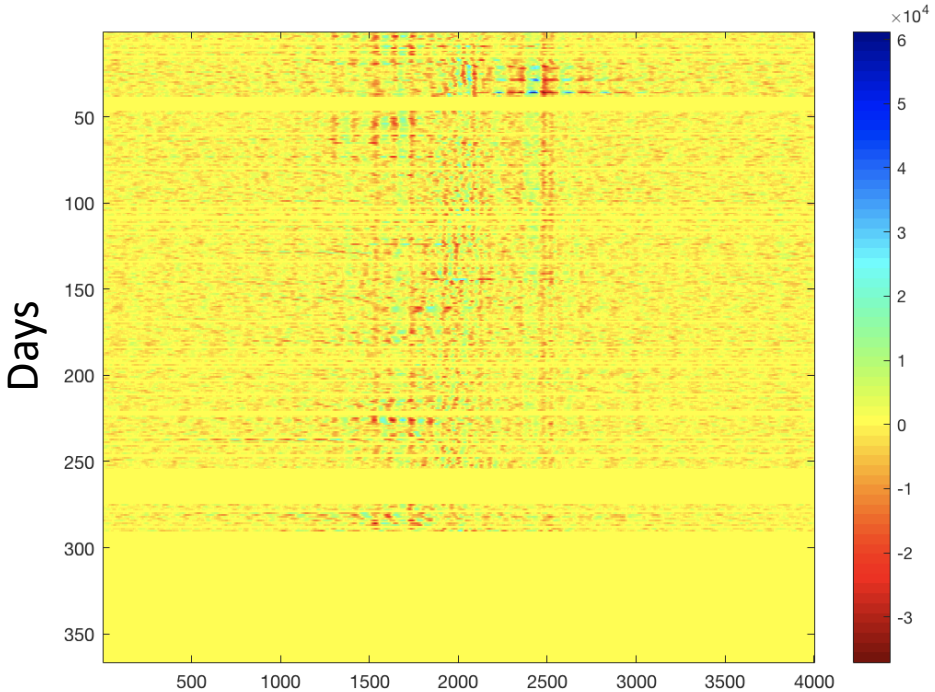
Campillo and Paul, *Science*, 2003; Shapiro and Campillo, *GRL*, 2004

Temporal changes of seismic wave velocity at depth ==> characterize the deformation rate?



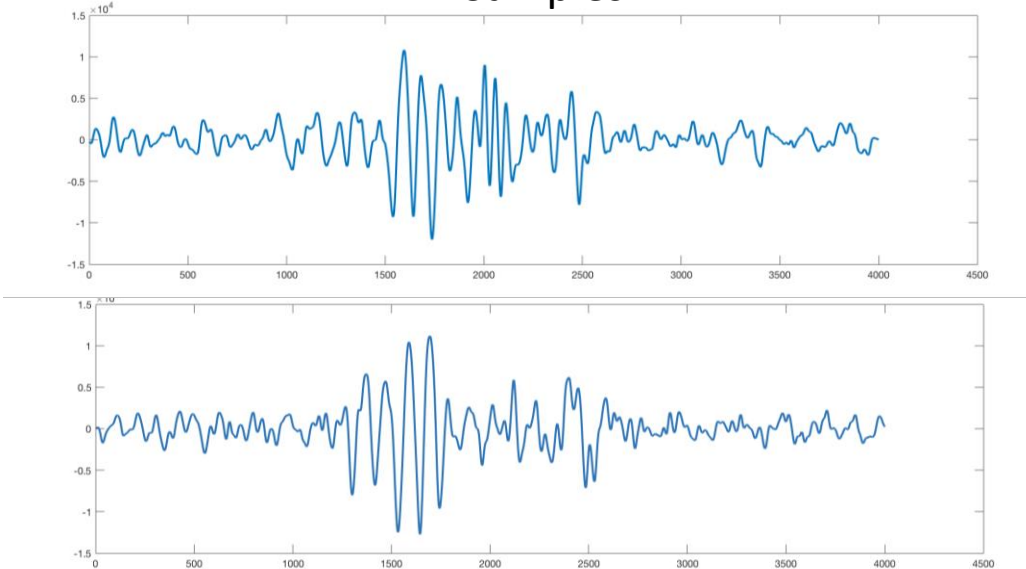
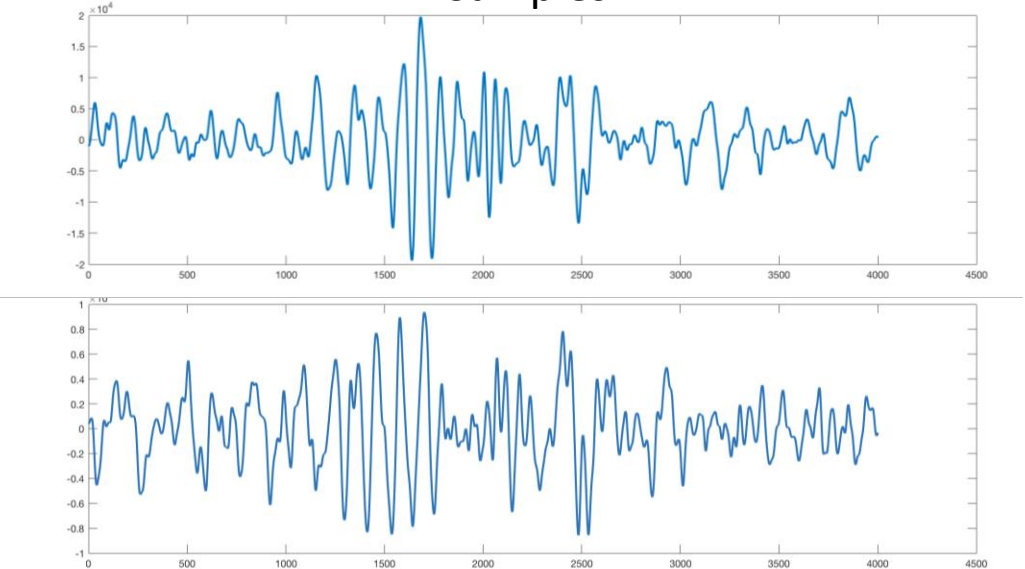
Source: Brenguier (2017)

Annual Green functions of one station pair



Samples

Samples




```
[sunmy@psn011 ZJdata]$ ls
SC_sta.txt  StaName.txt  mw5  raw
[sunmy@psn011 ZJdata]$ cd raw/
[sunmy@psn011 raw]$ ls
1.dat      111.dat  124.dat  137.dat  15.dat   162.dat  175.dat  188.dat  20.dat   25.dat   38.dat   50.dat   63.dat   76.dat   89.dat
10.dat     112.dat  125.dat  138.dat  150.dat  163.dat  176.dat  189.dat  200.dat  26.dat   39.dat   51.dat   64.dat   77.dat   9.dat
100.dat    113.dat  126.dat  139.dat  151.dat  164.dat  177.dat  19.dat   201.dat  27.dat   4.dat    52.dat   65.dat   78.dat   90.dat
101.dat    114.dat  127.dat  14.dat   152.dat  165.dat  178.dat  190.dat  202.dat  28.dat   40.dat   53.dat   66.dat   79.dat   91.dat
102.dat    115.dat  128.dat  140.dat  153.dat  166.dat  179.dat  191.dat  203.dat  29.dat   41.dat   54.dat   67.dat   8.dat    92.dat
103.dat    116.dat  129.dat  141.dat  154.dat  167.dat  18.dat   192.dat  204.dat  3.dat    42.dat   55.dat   68.dat   80.dat   93.dat
104.dat    117.dat  13.dat   142.dat  155.dat  168.dat  180.dat  193.dat  205.dat  30.dat   43.dat   56.dat   69.dat   81.dat   94.dat
105.dat    118.dat  130.dat  143.dat  156.dat  169.dat  181.dat  194.dat  206.dat  31.dat   44.dat   57.dat   7.dat    82.dat   95.dat
106.dat    119.dat  131.dat  144.dat  157.dat  17.dat   182.dat  195.dat  207.dat  32.dat   45.dat   58.dat   70.dat   83.dat   96.dat
107.dat    12.dat   132.dat  145.dat  158.dat  170.dat  183.dat  196.dat  208.dat  33.dat   46.dat   59.dat   71.dat   84.dat   97.dat
108.dat    120.dat  133.dat  146.dat  159.dat  171.dat  184.dat  197.dat  21.dat   34.dat   47.dat   6.dat    72.dat   85.dat   98.dat
109.dat    121.dat  134.dat  147.dat  16.dat   172.dat  185.dat  198.dat  22.dat   35.dat   48.dat   60.dat   73.dat   86.dat   99.dat
11.dat     122.dat  135.dat  148.dat  160.dat  173.dat  186.dat  199.dat  23.dat   36.dat   49.dat   61.dat   74.dat   87.dat
110.dat    123.dat  136.dat  149.dat  161.dat  174.dat  187.dat  2.dat    24.dat   37.dat   5.dat    62.dat   75.dat   88.dat
[sunmy@psn011 raw]$ ls |wc -l
208
[sunmy@psn011 raw]$
```

```
1 ZZ_BTAXCE
2 ZZ_BTALTA
3 ZZ_CD2AXI
4 ZZ_CD2HSH
5 ZZ_CD2JJS
6 ZZ_CD2JYA
7 ZZ_CD2MDS
8 ZZ_CD2MXI
9 ZZ_CD2WCH
10 ZZ_CD2XJI
11 ZZ_CD2YGD
12 ZZ_CD2YZP
13 ZZ_CD2ZJG
14 ZZ_CD2TQU
15 ZZ_CD2BAX
16 ZZ_GZADFU
17 ZZ_GZEMS
18 ZZ_GZJLO
19 ZZ_GZMDS
20 ZZ_GZSMI
21 ZZ_GZXJI
22 ZZ_GZYJI
23 ZZ_GZTQU
24 ZZ_GZBAX
25 ZZ_LZH-HMS
26 ZZ_LZH-HWS
27 ZZ_LZH-JLI
28 ZZ_PZH-HLI
29 ZZ_PZH-PGE
30 ZZ_PZH-SMK
31 ZZ_PZH-YYU
32 ZZ_SPA-AXI
33 ZZ_SPA-HSH
34 ZZ_SPA-MXI
"StaName.txt" 208L, 2288C
```

```
1 BTA|99.1172|30.0101|2639
2 CD2|103.7578| 30.91| 653
3 GZA|102.1726| 30.1173|1410
4 LZH|105.4136| 28.8724|330
5 PZH|101.7425| 26.5033|1190
6 SPA|103.6031| 32.6497|2905
7 XCE|99.7917|28.9417|3000
8 AXI|104.4311| 31.638| 587
9 BYD|103.1877| 27.8097|3160
10 BZH|106.7445| 31.8408|442
11 DFU|101.1215| 30.991| 3035
12 EMS|103.4542| 29.5767|467
13 GZI|100.0185| 31.6101|3360
14 HLI|102.2528| 26.653| 1836
15 HMS|104.3979| 29.5717|839
16 HSH|102.9867| 32.0637|2344
17 HWS|104.7361| 28.6396|860
18 HYS|106.8402| 30.4163|473
19 JJS|104.5456| 31.0045|908
20 JLI|104.5156| 28.1789|480
21 JLO|101.5125| 28.9958|2915
22 JMG|105.5597| 32.2054|801
23 JYA|103.9276| 29.7939|570
24 LBO|103.5703| 28.2722|1310
25 LGH|100.8615| 27.7143|2669
26 LTA|100.2694| 30.0004|3951
27 MBI|103.5336| 28.8405|640
28 MDS|103.0408| 30.0748|1210
29 MEK|102.2239| 31.9039|2765
30 MGU|103.1346| 28.3274|2056
31 MLI|101.2719| 27.9324|2437
32 MNI|102.1739| 28.3326|1657
33 MXI|103.8553| 31.6815|1582
34 PGE|102.5424| 27.3839|1427
"SC_sta.txt" [dos] 54L, 1423C
```

```

        sprintf(CFcnnewfile, "./CFs_Whitetempnorm_%s/Z-Z/new/%d/%d.dat", Province, i, j+1);
        for(k = 0; k < length; k++)
            result[k] = 0;
        // input
        FILE* newfile_fp;
        if ((newfile_fp = fopen(CFcnnewfile, "r")) == NULL) {
            printf("File open error!\n");
        }
        fread(idata, sizeof(double), length, newfile_fp);
        fclose(newfile_fp);

```

```

        // output
        sprintf(CFresultfile, "./CFs_Whitetempnorm_%s/Z-Z/result/", Province);
        mkdir(CFresultfile, 00700);
        sprintf(CFresultfile, "%s%d/", CFresultfile, i);
        mkdir(CFresultfile, 00700);
        sprintf(CFresultfile, "%s%d.dat", CFresultfile, j+1);

        FILE* result_fp;
        if ((result_fp = fopen(CFresultfile, "w")) == NULL) {
            printf("File open error!\n");
        }
        fwrite(result, sizeof(double), length, result_fp);
        fclose(result_fp);

```

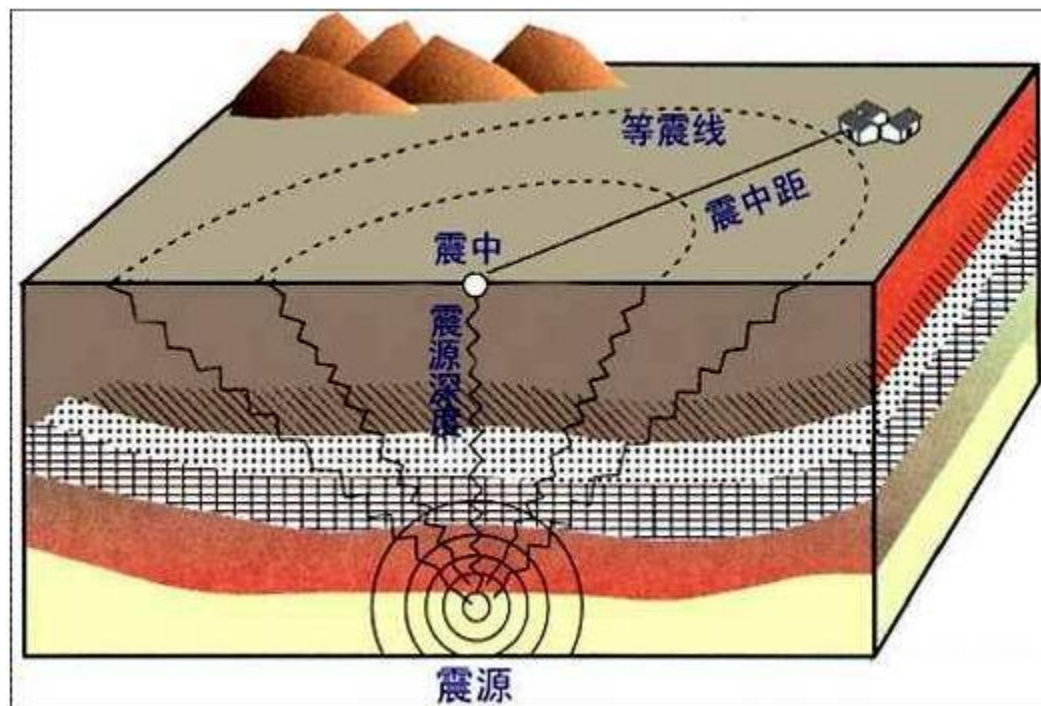
任务描述

- 1、对缺失日期的格林函数采用AI的方法进行插值，并至少和目前流行的一种插值算法进行对比，评价AI方法的优缺点。
- 2、对每个台站对可采取独立插值或将空间位置信息约束考虑进去，对比两种方式的效果并评价。
- 3、几种插值方式结果综合评价之后给出最优方案。

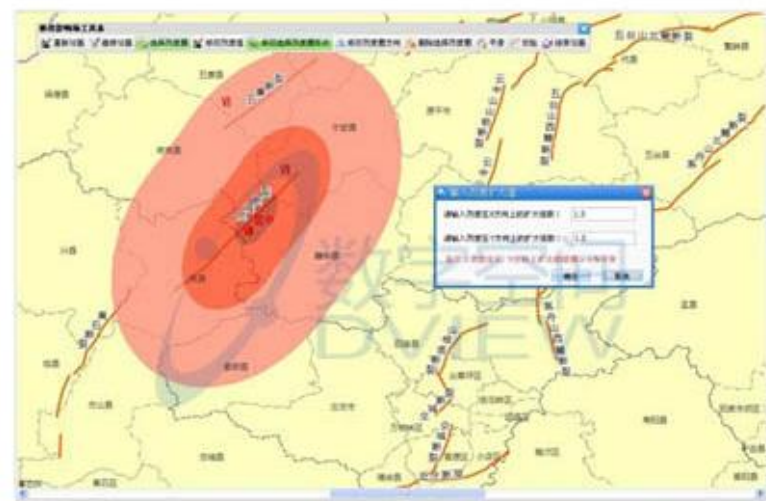
项目二：基于人工智能的有限断层破裂实时监测

(赵伟驰)

背景介绍



点源（震源机制解、地震经纬度、深度）



线源（方向、长度）

地球物理方面：建立模版库

在本项目中采用的地面震动预测方程如公式 1 所示,通过拟合上述筛选后的波形数据建立川滇地区的地面震动预测方程。

$$\log Y = c_0 + c_1 M + c_2 M^2 + c_3 \log R + \sigma_{\text{intra}} + \sigma_{\text{inter}} \quad (1)$$

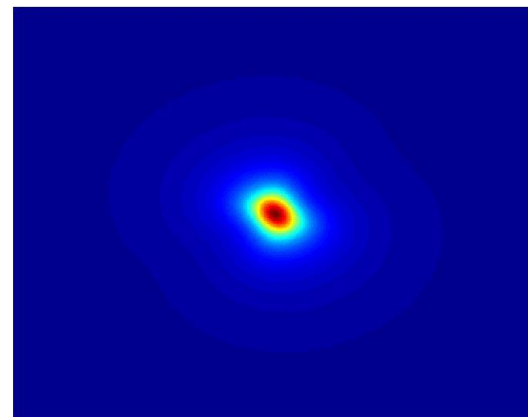
公式中, Y 是地面震动幅值, 可以是地面峰值速度 (PGV) 的幅值, 可以是地面峰值加速度 (PGA) 的振幅, 也可以是在给定频率时响应频谱加速度 (PSA) 的振幅。 M 表示地震的矩震级。 R 为有效点源距离 (公式 2)。

$$R = \sqrt{R_{\text{hypo}}^2 + h_{\text{eff}}^2} \quad (2)$$

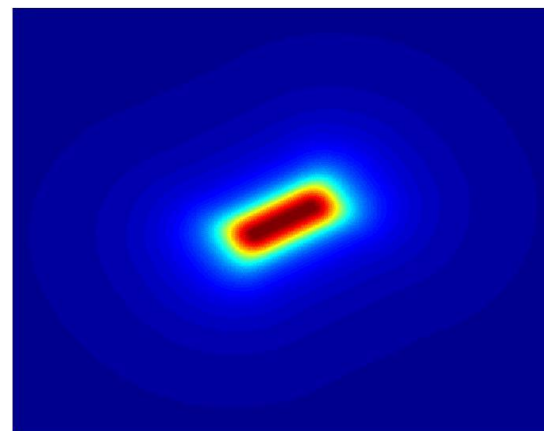
②根据区域地面震动预测方程, 构建理论地震断层峰值加速度空间分布图数据库

在本项目中, 拟定模板库中的最小断层长度为 10 km, 最大断层长度 300 km, 间隔 5 km。断层走向为 0 度至 179 度, 间隔 1 度。由地面震动预测方程 (公式 1) 可知, PGA 的大小与地震量级与震源距离相关, 通过公式 3 建立起震级 (M) 与断层长度 (L) 之间的统计关系:

$$\log_{10}(L) = (M - 4.33)/1.49 \quad (3)$$



Mw_6.30_Angle_149_Length_18.07



Mw_7.15_Angle_59_Length_69.74

识别图片中断层的长度、方向

选择并测试网络结构

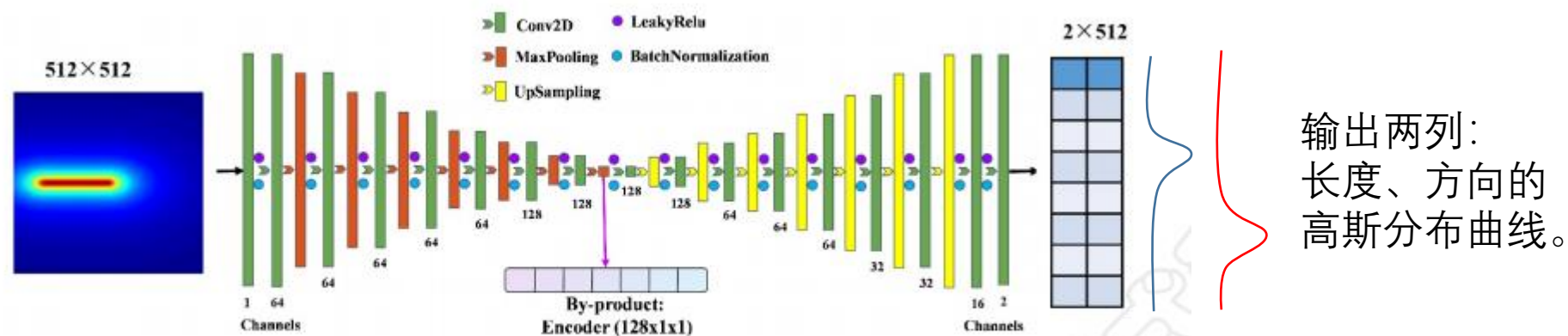


图 4 拟采用的神经网络结构。

输出两列：
长度、方向的高斯分布曲线。

任务描述

- 1、构建合适的数据训练网络（或测试几种网络择优）
- 2、实现数据训练
- 3、评价测试结果，计算准确率、F1等评价标准